

ЛОГІСТИКА

УДК 625.72:656.11

СПОСОБИ ТА ПРИСТРОЇ ДЛЯ ВИЗНАЧЕННЯ ШВИДКОСТІ ТРАНСПОРТНИХ ЗАСОБІВ І СКЛАДУ ТРАНСПОРТНОГО ПОТОКУ

А.І. Левтеров, професор, к.т.н., А.М. Ярута, аспірант, ХНАДУ

Анотація. Проаналізовано існуючі способи і технічні засоби для визначення основних параметрів, що характеризують транспортні потоки (ТП), а також запропоновано варіанти подальшого удосконалення методів визначення швидкості транспортних засобів (ТЗ) та складу транспортного потоку.

Ключові слова: параметри транспортного потоку, швидкість, ідентифікація транспортних засобів, сканування, контролльована зона.

СПОСОБЫ И УСТРОЙСТВА ДЛЯ ОПРЕДЕЛЕНИЯ СКОРОСТИ ТРАНСПОРТНЫХ СРЕДСТВ И СОСТАВА ТРАНСПОРТНОГО ПОТОКА

А.И. Левтеров, профессор, к.т.н., А.Н. Ярута, аспирант, ХНАДУ

Аннотация. Проанализированы существующие способы и технические средства для определения основных параметров, характеризующих транспортные потоки (ТП), а также предложены варианты дальнейшего совершенствования методов определения скорости транспортных средств (ТС) и состава транспортного потока.

Ключевые слова: параметры транспортного потока, скорость, идентификация транспортных средств, сканирование, контролируемая зона.

METHODS AND APPARATUS FOR VEHICLES SPEED AND TRANSPORT FLOW PARAMETERS DETERMINING

**A. Levterov, Professor, Candidate of Technical Science,
A. Yaruta, post-graduate, KhNAU**

Abstract. The existing methods and technical means for determining of transport flows (TF) parameters are analyzed in the given work. The variants for further improvement of methods of vehicles speed determination as well as the transport flow parameters are offered.

Key words: transport flow parameter, speed, vehicle identification, scanning, controlled road section.

Вступ

Організація дорожнього руху – це комплекс наукових, інженерних і організаційних заходів, що забезпечують необхідний рівень ефективності та безпеки транспортного і пішохідного руху [1]. Отже, найважливішим напрямом забезпечення нормального функціонування дорожнього руху є побудова ефективних автоматизованих систем керування дорожнім рухом. Однією з головних задач

таких систем є визначення широкого кола параметрів ТП, що може бути забезпечено наявністю у комплексі надійних, багатофункціональних та достатньо дешевих детекторів швидкісного режиму ТП, які дозволяють одночасно визначити габаритні параметри ТЗ та склад ТП.

Серед існуючих методів дослідження параметрів ТП необхідно виділити: натурні спостереження, імітаційне моделювання руху,

відеоспостереження за рухомим складом ТП та ін. Усі ці методи об'єднує мета – отримання точних даних про параметри ТП для ефективного керування рухом ТЗ. На сьогодні проводяться широкі дослідження з використання різноманітних радіоелектронних, оптических та ультразвукових детекторів ТЗ для визначення їх швидкості та габаритних параметрів [2, 3]. Тому задача розробки та удосконалення сучасних способів та пристроїв для визначення параметрів ТП є важливою й актуальну.

Аналіз публікацій

Ознайомлення з публікаціями показує існування великої кількості приладів, у тому числі й детекторів транспорту, для визначення параметрів транспортних засобів та параметрів транспортного потоку із застосуванням оптичного (лазерного) випромінювання.

Так, у роботі [2] в якості приймача сигналу запропоновано використовувати оптико-електричний детектор транспорту на основі пластинчатих растрів. Оптичним елементом пластинчатого раstra є елементарне вічко – прозоре для випромінювання оптичного сигналу через зазор у формі вузької і глибокої щілини між сусідніми вічками. Пластинчатаий растр може містити одне або декілька елементарних вічок. Властивості пластинчатого раstra визначаються в основному характеристикиами елементарного вічка, а вихідними даними роботи цього детектора є швидкість руху, габаритні характеристики (висота, довжина), а з використанням автомобіля-маркера, і основні параметри ТП.

Недоліком даного пристрою є складність обробки відеосигналу, що характеризує оптичний образ транспортного засобу, оскільки значення амплітудних максимумів сигналу можуть змінюватися залежно від освітленості транспортного засобу та його швидкості руху. Тому необхідно постійно проводити тарування (вводити поправковий коефіцієнт) і нормування амплітуди відбитого сигналу.

Відомі способи і пристрої для визначення швидкості і типу ТЗ із використанням відеокамер, що встановлюються у вітчизняних і зарубіжних пристроях контролю («Арена», «Крис-1», «Візор», «Сокіл», «TruCam», «Потік», «Філін» та ін. з комплексом реєстрації зображення та швидкості). Автоматичні

відеофоторадарні комплекси призначенні для фіксації швидкості ТЗ, що проходять через зону контролю, автоматичного фотографування порушників та передачу отриманих даних по цифрових каналах зв'язку. Система «ЛТК Метавідіо СЗР (МВК)» додатково виконує автоматичне розпізнавання й ідентифікацію ТЗ із використанням бази реєстрації ДАІ. У роботах [3, 4] використовуються способи визначення швидкості автотранспортного засобу та розпізнавання номерних знаків для ідентифікації ТЗ.

Визначення швидкості руху транспортного засобу [3] здійснюють таким чином. На відстані L одна від одної на контролюваному відрізку дороги встановлюють відеокамери А і В, які направлено в одному напрямку – назустріч ТЗ, що рухається, або у протилежних напрямках одна до одної. Точками встановлення відеокамер визначається довжина контролюваного відрізку дороги (рис. 1).



Рис. 1. Розміщення двох відеокамер А і В на відстані L одна від одної на контролюваному відрізку дороги

Автотранспортний засіб, що рухається контролюваним відрізком дороги, послідовно потрапляє в контролювану зону спочатку першої відеокамери А, потім – другої відеокамери В. Ідентифікація автотранспортного засобу у зонах контролю відеокамер виконується за державним номерним знаком із застосуванням технології розпізнавання державного номерного знака, причому фіксується державний номерний знак і час t_1 ідентифікації автотранспортного засобу в зоні контролю першої відеокамери А та, відповідно, час t_2 ідентифікації другої відеокамери В. Час руху автотранспортного засобу контролюваним відрізком дороги L розраховують як $\Delta t = t_2 - t_1$. Якщо відома довжина L контролюваного відрізку дороги та час Δt перебування автотранспортного засобу в контролюваній зоні, визначають його швидкість V в контролюваній зоні: $V = L/\Delta t$.

Досвід експлуатації таких систем показує, що вони мають ряд недоліків, серед яких: дорожнеча та складність спеціального програмного забезпечення для обробки відеоданих, необхідність серйозного підсвічування контролльованої зони у нічний час; тривалий час обробки інформації, використовуваної для формування керуючих впливів і передачі їх у темпі, сумірному зі швидкістю зміни умов руху на ВДМ; відсутність можливості повної автоматизації прийняття рішення.

У роботах [5–7] запропоновано способи для визначення швидкості і габаритних параметрів ТЗ на базі скануючих пристрій у горизонтальній та вертикальній поверхнях розгортки гостро направленого лазерного променя і протяжних фотоприймачів (ФП), розміщених у контролюваній зоні (КЗ) (рис. 2).

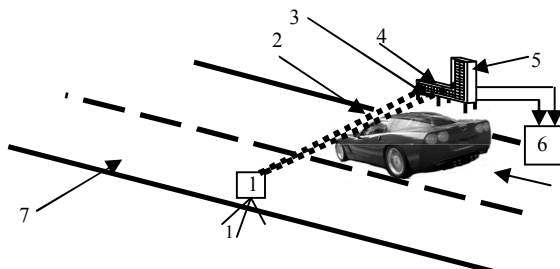


Рис. 2. Схема розміщення скануючих пристрій та протяжних фотоприймачів на контролюваному відрізку дороги

Представлені способи вимірювання швидкості і габаритних параметрів ТЗ мають істотний недолік, який обмежує ефективне діагностування ТП на багатосмуговій проїжджій частині. З метою усунення цього недоліку було запропоновано спосіб і відповідний йому вимірювач [8], що дозволяють здійснювати моніторинг ТП по окремо взятій смузі руху на багатосмуговій дорозі.

Мета та постановка задачі

Метою є аналіз способів та пристрій виміру швидкостей, габаритних параметрів ТЗ та складу транспортного потоку із застосуванням оптичного випромінювання.

Згідно з метою було поставлено такі задачі:

- проаналізувати існуючі вимірювачі швидкості руху та довжини транспортних засобів;
- привести опис та надати порівняльні функціональні характеристики запропонованих способів виміру швидкості та габаритів ТЗ.

Розв'язання задачі

Авторами пропонується ряд способів та пристрій контролю руху ТЗ [8–11, 13] для визначення швидкості, габаритних параметрів ТЗ на базі скануючих пристрій розгортки гостро направленого лазерного променя інфрачервоного (ІЧ) діапазону і фотоприймачів (ФП), розміщених у контролюваній зоні (КЗ).

Для цього гостро направлений світловий потік переміщається із постійною швидкістю у вертикальній площині над КЗ уздовж траєкторії руху ТЗ [8]. Довжина КЗ визначається сектором сканування світлового променя, причому вона є меншою за мінімальну з можливих довжин ТЗ (рис. 3).

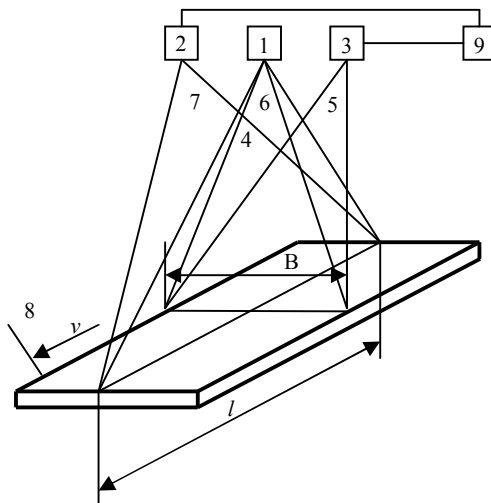


Рис. 3. Схема розміщення скануючих пристрій та фотоприймачів над контролюваною зоною дороги

Прийом відбитого світлового потоку від поверхні автомобілів здійснює ФП, який формує на своєму виході послідовність імпульсів. Поки ТЗ не в'їхав у контролювану зону, імпульси на виході ФП будуть відсутні з причини дифузного віддзеркалення асфальту.

При в'їзді ТЗ до КЗ світловий потік, що відбивається від його поверхні, поступає на вход ФП, а сформовані ним імпульси подовжуються за кожний період сканування пропорційно положенню ТЗ у КЗ. При повному перекритті ТЗ КЗ тривалість імпульсів на виході ФП буде максимальною.

При виїзді ТЗ із КЗ спостерігається скорочення тривалості сформованих імпульсів на виході ФП пропорційно положенню ТЗ.

Таким чином, значення швидкості ТЗ можна отримати набуте шляхом зміни тривалості імпульсів у кожному періоді сканування світлового потоку, а довжина ТЗ може бути визначена за відомої швидкості ТЗ за часом повного перекриття ним КЗ, тобто за часом, впродовж якого тривалість відбитих імпульсів буде максимальною і рівною відношенню довжини КЗ до швидкості переміщення світлового потоку.

У роботі [9] запропоновано пристрій, який розміщується над дорогою й охоплює усі смуги.

На рис. 4 наведено структурну схему пристрою для вимірювання параметрів транспортних потоків, де 1 – датчик лазерного випромінювання інфрачервоного діапазону; 2 – оптичний модулятор; 3 – дискретний сканер; 4₁, 4₂, ..., 4_n – підсилювачі; 5 – лічильник-дешифратор; 6 – генератор розгортки; 7 – задавальний генератор; 8 – резонансний підсилювач; 9 – фотоприймач; 10 – двократний перетворювач частоти; 11 – вимірювач частоти та 12 – високочастотний детектор.

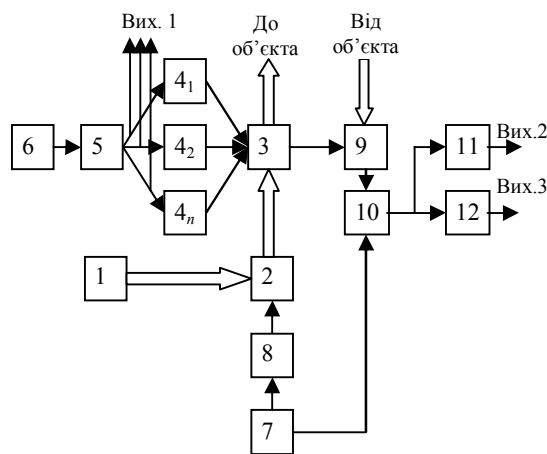


Рис. 4. Структурна схема пристрою для вимірювання параметрів транспортних потоків із застосуванням скануючих пристрій

Потік оптичного випромінювання виходить із датчика 1 лазерного випромінювання ІЧ діапазону у вигляді квазіпаралельного пучка, проходить через оптичний модулятор 2, де модулюється за гармонічним законом. Потім пучок проходить через дискретний сканер 3, на входи якого через підсилювачі 4₁, 4₂, ..., 4_n, де n – кількість смуг руху транспортних засобів, подається комбінація напруг із лічильника-дешифратора 5, складена з імпульсів генератора 6 розгортки. Кожній комбінації

керуючих напруг відповідає певне кутове положення модульованого пучка після сканера. При цьому синхронно з дискретним сканером 3 кожній комбінації керуючих напруг із підсилювачів 4₁, 4₂, ..., 4_n відповідає те ж кутове положення фотоприймача 9, конструктивно з'єднаного і синхронно працюючого з дискретним сканером 3.

Таким чином, передавальна частина, куди, крім перерахованих вузлів, входять також задавальний генератор 7 і резонансний підсилювач 8, формує на дорозі скануючу пляму випромінювання, яка періодично, ряд за рядом, оглядає усі смуги руху дороги. При цьому у блок обробки інформації поступає інформація про те, яка смуга дороги аналізується у певний момент часу (вих. 1).

Оптичний сигнал відбивається від об'єкта або покриття дороги і частина його поступає у фотоприймач 9, орієнтований, як і оптичний сигнал після дискретного сканера, на відповідну смугу дороги. Електричний сигнал з інформацією про доплерівську частоту з фотоприймача 9 подається на двократний перетворювач частоти 10, на другий вхід якого підведено напругу із задавального генератора 7. При співпадінні частот на обох входах двократного перетворювача частоти 10 на його виході напруга буде рівною нулю (транспортний засіб відсутній). При роззгодженні частот на входах двократного перетворювача частоти (транспортний засіб виявлено) діапазон частот доплера переноситься до більш низької частоти, де можлива фільтрація доплерівської частоти у смузі, що на декілька порядків є меншою за частоту задавального генератора 7. Сигнал з виходу двократного перетворювача частоти 10 поступає на вимірювач частоти 11 і на високочастотний детектор 12. Вимірювач частоти 11 перетворює доплерівський частотний зсув, що характеризує швидкість транспортного засобу, в імпульсно-цифровий код для вводу у блок обробки інформації (вих. 2). Після детектування (вих. 3) імпульсний сигнал поступає у блок обробки інформації для визначення інтенсивності транспортного потоку.

Для визначення довжини транспортного засобу у блокі обробки інформації обчислюється час від моменту розгалуження частот до моменту збігу частот на виході двократного перетворювача частоти 10 по кожній смузі руху транспортного засобу, де за вже

відомою швидкістю і розрахованим часом, визначається довжина транспортних засобів, а вже за довжиною – склад транспортного потоку.

Усі вузли і блоки описаного пристроя розміщуються в єдиному закритому корпусі, встановленому коло дороги на опорах, естакадах тощо.

Однак вказаний пристрій має ряд недоліків. По-перше, у відомому пристрої фотоприймач хоча і орієнтований на відповідну смугу руху транспортних засобів, але під кутом до відповідної смуги дороги, тому частка відбитого від транспортного засобу оптичного сигналу, що приймається, буде незначною і недостатньою для стійкого прийому фотоприймачем. Це значною мірою обмежує кількість смуг руху транспортних засобів, що можуть бути охоплені, та знижує точність. По-друге, застосування механічних пристрій сканування смуг руху транспортних засобів сильно знижує надійність роботи пристрою.

Тому у роботах [10, 11] було запропоновано пристрой, які не мають механічних вузлів розгортки лазерного променя. Так, у роботі [10] запропоновано пристрій, в якому замість розгортки застосовуються оптоволоконний кабель та оптичні поворотні призми для кожної смуги дороги. Крім того, визначення швидкості ТЗ здійснюється доплерівським ефектом. Прийом відбитого від транспортного засобу оптичного сигналу здійснюється фотоприймачами, розташованими на кожній смузі руху.

На рис. 5 наведено пристрій, який містить: 1 – датчик лазерного випромінювання інфрачервоного діапазону; 2 – оптичний модулятор; 3 – оптоволоконний кабель; $4_1, 4_2, \dots, 4_n$ – оптичні поворотні призми; $5_1, 5_2, \dots, 5_n$ – фотоприймачі; $6_1, 6_2, \dots, 6_n$ – підсилювачі; 7 – задавальний генератор; 8 – резонансний підсилювач; 9 – генератор імпульсів; 10 – лічильник-десифратор; 11 – елемент «АБО»; 12 – двократний перетворювач частоти; 13 – вимірювач частоти та 14 – високочастотний детектор.

Потік оптичного випромінювання виходить із датчика 1 лазерного випромінювання інфрачервоного діапазону у вигляді квазіпаралельного пучка, проходить через оптичний модулятор 2, де модулюється за гармонічним законом. Потім потік оптичного випромінювання проходить по оптоволоконному кабелю

до оптичних поворотних призм $4_1, 4_2, \dots, 4_n$, де n – кількість смуг руху транспортних засобів, які посилають потік оптичного випромінювання відповідно на кожну смугу дороги.

Таким чином, передавальна частина, куди, крім перерахованих вузлів, входять також задавальний генератор 7 і резонансний підсилювач 8, формує на кожній смузі дороги пляму випромінювання, яка періодично, з частотою задавального генератора 9 імпульсів, залежно від комбінації напруг з лічильника-десифратора 10, ряд за рядом оглядає усі смуги дороги. При цьому у блок обробки інформації поступає інформація про те, яка смуга дороги аналізується у даний момент часу (вих. 1).

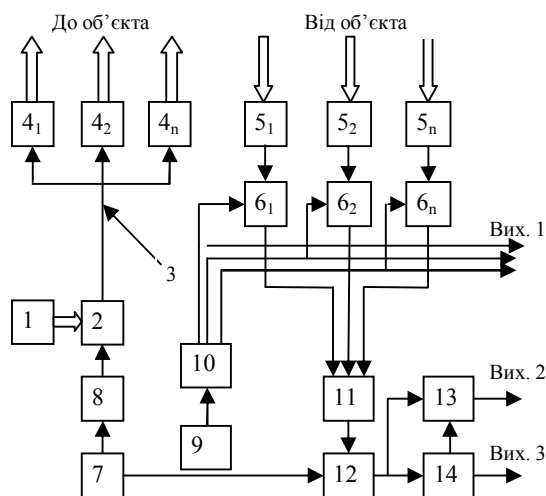


Рис. 5. Структурна схема пристроя для вимірювання параметрів транспортних потоків із застосуванням оптоволоконного кабелю та оптичних поворотних призм для кожної смуги дороги

Оптичний сигнал відбивається від об'єкта або покриття дороги і частина його поступає у фотоприймачі $5_1, 5_2, \dots, 5_n$, кожний з яких орієнтований на відповідну смугу дороги. Електричний сигнал з інформацією про доплерівську частоту з фотоприймачів $5_1, 5_2, \dots, 5_n$ подається через елемент «АБО» на двократний перетворювач частоти 12, на другий вхід якого підведено напругу із задавального генератора 7. При співпадінні частот на обох входах двократного перетворювача частоти 12 на його виході напруга буде рівною нулю (транспортний засіб відсутній). При розузгодженні частот на входах двократного перетворювача частоти (транспортний

засіб виявлено) діапазон доплерівської частоти переноситься до більш низької частоти, де можлива фільтрація доплерівської частоти у смузі, що на декілька порядків є меншою за частоту задавального генератора 7. Сигнал з виходу двократного перетворювача частоти 12 поступає на вимірювач частоти 13 і на високочастотний детектор 14. Вимірювач частоти 12 перетворює доплерівський частотний зсув, що характеризує швидкість транспортного засобу, в імпульсно-цифровий код для вводу у блок обробки інформації (вих. 2). Після детектування (вих. 3) імпульсний сигнал поступає у блок обробки інформації для визначення інтенсивності транспортного потоку.

Довжина транспортного засобу та склад транспортного потоку визначаються таким самим чином, як у роботі [9].

У роботі [11] задля позбавлення механічного пристрою розгортки та усунення гістерезису пропонується застосувати електронний пристрій сканування лазерним променем контролюваної зони, що ґрунтуються на акусто-оптичному ефекті дифракції оптичного променя Рамана-Ната або Брега на прозорому кришталі парателуриту [12], тобто на ефекті зміни кута відхилення променя, пропорційного частоті ультразвукових акустичних коливань у прозорому кришталі, через який проходить промінь.

На рис. 6 наведено структурну схему пристрою для вимірювання параметрів транспортних потоків: 1 – датчик лазерного випромінювання інфрачервоного діапазону; 2 – оптичний модулятор; 3 – парателуричний кришталь; 4 – п’зоелемент; 5 – керовані за частотою високочастотні генератори; 6₁, 6₂ – джерела керуючих напруг для двох площин ухилення променя; 7 – задавальний генератор; 8 – резонансний підсилювач; 9 – фотоприймач; 10 – двократний перетворювач частоти Доплера; 11 – вимірювач частоти Доплера; 12 – високочастотний детектор.

Потік оптичного випромінювання виходить з датчика 1 лазерного випромінювання інфрачервоного діапазону у вигляді вузького променя, проходить через оптичний модулятор 2, де модулюється амплітуда променя за гармонічним законом. Потім промінь проходить через оптичний кришталь 3 із двома п’зоелементами 4 на двох торцях, що збу-

джують кришталь від двох ультразвукових генераторів 5₁ та 5₂, частоти яких залежать від своїх керуючих напруг 6₁ та 6₂ та змінюють напрямок лазерного променя. Кожній комбінації керуючих напруг відповідає певне кутове положення модульованого пучка після оптичного кришталю 3. При цьому, згідно із принципом взаємності, фотоприймач 9 орієнтований паралельно падаючому променю від лазера 1.

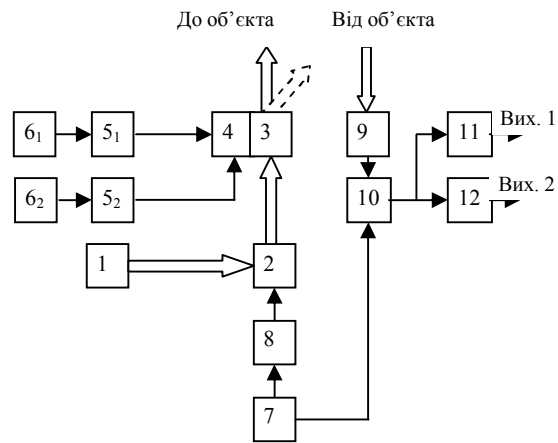


Рис. 6. Структурна схема пристроя для вимірювання параметрів транспортних потоків на основі ефекту Рамана-Ната або Брега

В кожній площині кут заломлення оптичного променя змінюється за частотою високочастотного генератора 7 за законом [2]

$$\sin \theta_B = \frac{\lambda f}{2nv}, \quad (1)$$

де θ_B – кут Брега в середовищі; λ – довжина хвилі; n – показник заломлення; v – фазова швидкість; f – частота високочастотного генератора.

Таким чином, передавальна частина, куди, крім перерахованих вузлів, входять також задавальний генератор 7 і резонансний підсилювач 8, формує на дорозі скануючу амплітудну модульовану пляму випромінювання, яка, згідно із програмою відповідно до керуючих напруг, оглядає усі точки руху дороги.

Оптичний сигнал відбивається від об’єкта або покриття дороги і частина його падає під тим же кутом, але у зворотному напрямку, згідно із принципом зворотності, на парателуричний кришталь 3 і далі – на фотоприй-

мач 9. Електричний сигнал з інформацією про частоту Доплера з фотоприймача 9 подається на двократний перетворювач частоти 10, на другий вхід якого підведено напругу із задавального генератора 7. При виявленні сигналу, відбитого від наявного транспортного засобу і прийнятої фотоприймачем, на першому вході двократного перетворювача частоти 10 з'являється сигнал із частотою, що має зсув оптичної несучої частоти за рахунок ефекту Доплера, а на другому вході завжди є напруга з виходу задавального генератора 7. На виході двократного перетворювача частоти діапазон частоти Доплера переноситься до більш низької частоти, де можлива вузькосмугова фільтрація частоти Доплера у смузі, що на декілька порядків є меншою за частоту задавального генератора 7. Різниця частот – прийнятої частоти модуляції з доданою частотою Доплера і частоти задавального генератора – поступає на вимірювач частоти 11, з метою підрахунку періодів. За відсутності сигналу на виході фотоприймача 9 транспорту немає.

Якщо транспортний засіб виявлено, то сигнал з виходу вимірювача частоти Доплера поступає на вимірювач частоти 11 і на високочастотний детектор 12. Вимірювач частоти перетворює доплерівський частотний зсув, що характеризує швидкість транспортного засо-

бу, в імпульсно-цифровий код для вводу у блок обробки інформації (вих. 1). Після детектування (вих. 2) сигнал поступає у блок обробки інформації для визначення параметрів руху та інтенсивності транспортного потоку.

Пристрій, запропонований у [13], дозволяє точно вимірювати у цифровому вигляді майже усі головні технічні параметри руху транспортних засобів, навіть тангенціальну швидкість, у складних дорожніх умовах: за будь-якої конфігурації дороги, у широкому діапазоні відстаней і кутів обзору.

На рис. 7 приведено структурну схему пристрою для вимірювання параметрів транспортних засобів.

На рис. 8 подано частотні й часові співвідношення сигналів та принципи використання каналів у вигляді форми сигналів на відповідних елементах структурної схеми пристрою, наведеного на рис. 7.

На рис. 7 зображене: лазер 1 з накачкою, селектор 2 подовжніх мод із входом «а» для ввімкнення випромінювання сигналу зондування відстані на моді $6\Delta v_m$ за сигналом виявлення відбиття променя Δv_m від транспортного засобу, блок 3 дефлекторів для зуст-

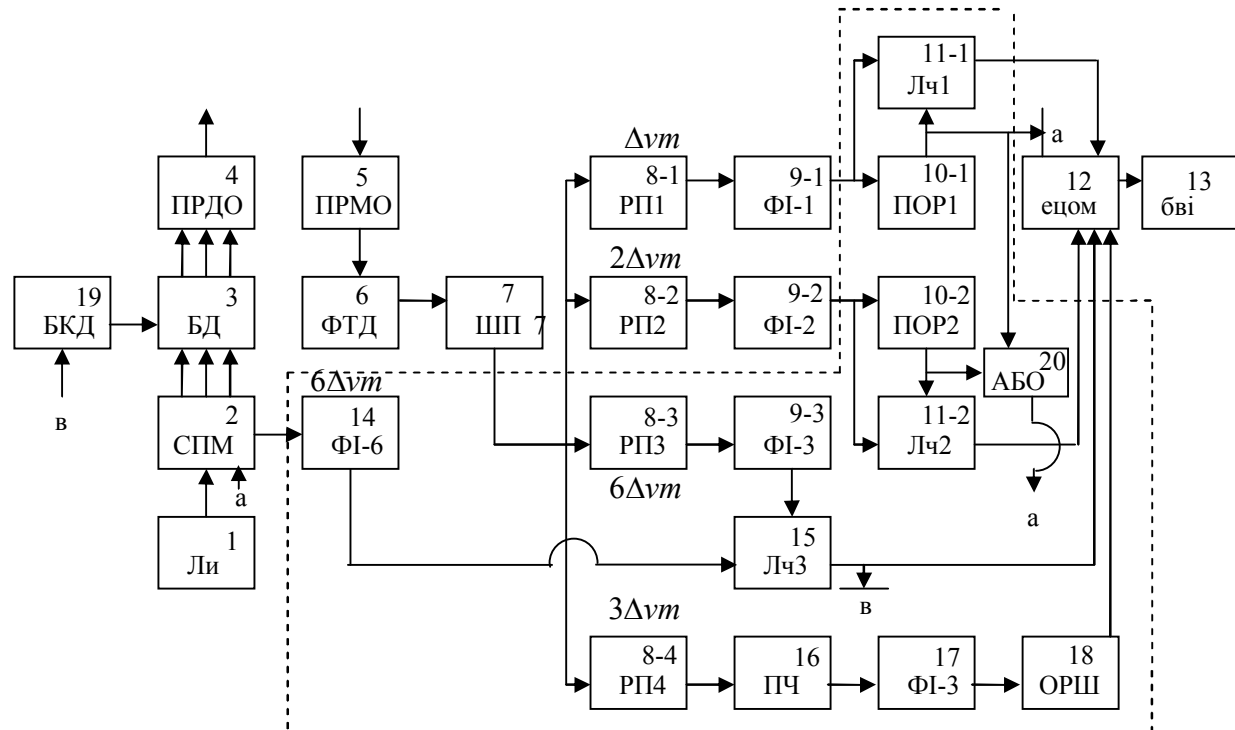


Рис. 7. Структурна схема пристрою для вимірювання параметрів транспортних засобів на основі ефекту Доплера

річного сканування двох променів, «підфарбованих» своїми модами, передавальна оптика 4, приймальнона оптика 5, фотодетектор 6, широкосмуговий підсилювач 7, резонансні підсилювачі 8–1, 8–2 своїх мод каналів променів, що рухаються, каналу 8–3 відстані і каналу 8–4 радіальної швидкості, формувачі 9–1, 9–2 імпульсів променів, формувач 9–3 імпульсу надходження сигналу відстані, порогові пристрої 10–1 та 10–2 каналів променів, лічильники 11–1 та 11–2 часу відбиття променів, ПК 12, блок 13 відображення інформації, формувач 14 імпульсів, лічильник 15 імпульсів відстані, подвійний перетворювач 16 частоти, формувач 17 імпульсів доплерівської частоти з підставкою, обчислювач 18 радіальної швидкості, блок 19 керування дефлекторами із входом «в» та елемент АБО (ІЛИ) 20.

Принцип дії пристрою для вимірювання параметрів транспортних потоків полягає у наступному: стаціонарний або портативний пристрій націлюється на видимий транспортний засіб і натискається кнопка ввімкнення. На виході передавальної оптики 4 одночасно випромінюються моди Δv_m , $2\Delta v_m$ променів та вимірювача радіальної швидкості $3\Delta v_m$ (рис. 8, а), крім моди відстані $6\Delta v_m$. Отриманий відбитий від транспортного засобу сигнал первого променя запізнюється (рис. 8, б, л, м) на час розповсюдження $t_3 = 2R/c$, де R, c – відповідно відстань та швидкість розповсюдження світла.

Виявлення сигналу відбувається у граничному пристрої 10–1 або 10–2, з виходів яких через елемент «АБО» (ІЛИ) 20 на вхід «а» селектора 2 подовжніх мод поступає сигнал (рис. 8, в) для підмикання випромінювання моди відстані $6\Delta v_m$, формування імпульсів цієї ж частоти у блоці 14 формування імпульсів для рахунку імпульсів (рис. 8, д) лічильником 15 імпульсів відстані. Затримка моди відстані завжди менше, ніж тривалість відбиття променя від транспортного засобу.

Тому мода відстані раніше приймається приймальною оптикою 5 і фотодетектором 6, підсилюється широкосмуговим підсилювачем 7, підсилюється своїм резонансним підсилювачем 8–3, далі формувач імпульсів 9–3 виробляє імпульс закриття (рис. 8, г) лічильника відстані 15 і видає у цифровому вигляді відстань у ПК 12 та на блок 19 керування дефлекторами регулювання діапазону (кута)

розкриття у повторному циклі дефлекторів блока 3.

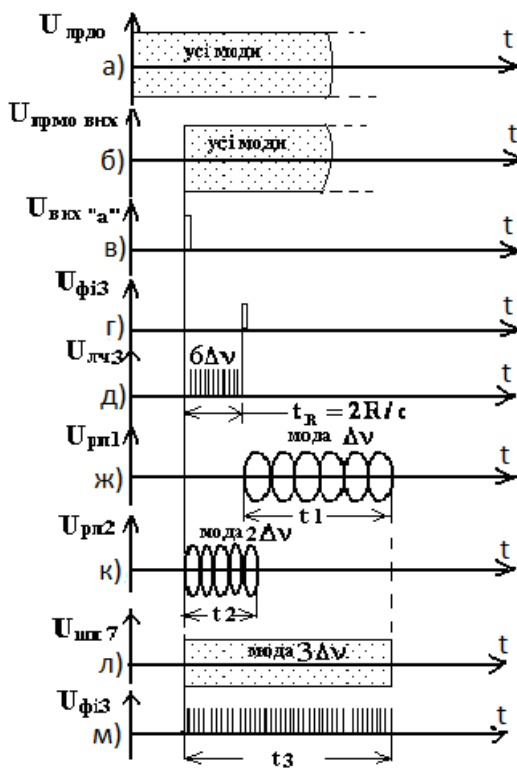


Рис. 8. Частотні та часові співвідношення сигналів

Перший промінь, згідно з рис. 9, рухається назустріч транспортному засобу, тому час відбиття променя менше (рис. 8, к), ніж у другого променя (рис. 8, ж). Час відбиття променів t_1, t_2 (рис. 8, ж, к) дозволяє знайти тангенціальну швидкість транспортного засобу з рівнянь

$$t_1 = l_\tau / (v_{\text{пп}} - v_\tau), t_2 = l_\tau / (v_{\text{пп}} + v_\tau),$$

де $v_{\text{пп}}, v_\tau$ – відповідно лінійна тангенціальна швидкість променя (світловими плями відбиття променя) і тангенціальна швидкість транспортного засобу; l_τ – тангенціальний шлях (плями) променя впродовж міделєва перерізу транспортного засобу.

Систему рівнянь можна перетворити у наступну систему (2)

$$\begin{aligned} v_\tau &= v_{\text{пп}} \left(1 - \frac{T_3}{t_1} \right), \\ v_\tau &= v_{\text{пп}} \left(\frac{T_3}{t_2} - 1 \right), \end{aligned} \quad (2)$$

причому

$$v_{\text{пр}} = \frac{l_{\tau}}{T_{T_3}} = \frac{l_{\theta}}{T} = \frac{R\theta}{T}, \quad (3)$$

де l_{θ}, T – відповідно довжина загального шляху плями на цій відстані і час циклу руху променів; T_{T_3} – час проходження плями по ТЗ; R, θ – відповідно відстань і допустимий кут руху променів.

З рівнянь (2) отримують значення T_{T_3}

$$T_{T_3} = \frac{2t_1 t_2}{t_1 + t_2}. \quad (4)$$

Оскільки тангенціальна лінійна швидкість (плями) променів повинна бути заданою і постійною у циклі їх руху, то, згідно зі співвідношенням (3), потрібно вимірювати відстань R і розраховувати потрібну кутову швидкість θ / T . Тобто у скільки разів збільшилася відстань R , у стільки ж разів треба зменшити кутову швидкість θ / T або збільшити час сканування. Або – за заданого часу сканування – зменшити кут розкривання променів.

Практичніше за результатом виміру відстані визначати розмір пилообразної напруги (вхід «в» рис. 8) у блоку 3 (дефлектори) блоком 19 (керування дефлекторами) рис. 7.

Значення $v_{\text{пр}}$ краще вибирати на 30 % більшим за максимальну швидкість транспортного засобу.

Коли вимірюється радіальна швидкість, повна швидкість визначається за теоремою Піфагора.

Тангенціальний (видимий) розмір транспортного засобу, або міделев переріз, можна визначити за допомогою формули (4)

$$l_{\tau} = v_{\text{пр}} T_{T_3}.$$

Кут падіння лінії прицілювання (середини між променями) визначається за допомогою значень радіальної і тангенціальної швидкостей.

Повний розмір транспортного засобу відзначають за відомими значеннями тангенціаль-

ного розміру та кута падіння лінії прицілювання (рис. 9).

В ході діагностування ТП запропонованими методами, окрім швидкості і габаритних параметрів ТЗ, принципово можна визначити інтенсивність, тип ТЗ за класами – легкові, малолітражні, вантажні, пасажирські, а використовуючи методику [2], можна визначити навіть щільність ТП.

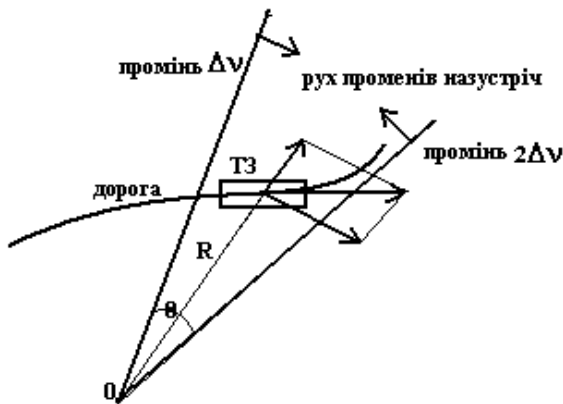


Рис. 9. Позиційна схема вимірювання тангенціальної швидкості

Висновки

В даній статті було проведено аналіз існуючих методів отримання інформації (щодо інтенсивності, швидкості ТЗ та складу транспортного потоку) із застосуванням лазерного випромінювання для подальшого використання в системах керування рухом.

Результати роботи рекомендовано використовувати: для оперативної зміни швидкісних режимів; при визначенні габаритів транспортних засобів для ідентифікації їх типів; при розв'язанні задач сортування потоків; для оперативного керування рухом, зокрема при коректуванні роботи світлофорної сигналізації; при виборі оптимальних місць установки регулювальних знаків тощо.

Література

1. Клинковштейн Г.И. Организация дорожного движения / Г.И. Клинковштейн, М.Б Афанасьев. – М.: Транспорт, 2001. – 136 с.
2. Плещенцев В.С. Диагностирование транспортных потоков федеральной автотрассы «Волга М-7» / В.С. Плещенцев,

- Е.В. Дмитриева, Д.А. Соцков // Организация и безопасность дорожного движения в больших городах: сборник статей 7-й международной научно-практической конференции, посвященной 70-летию МВД России. – Санкт-Петербург, 21–22 сентября 2006. – С. 27–31.
3. Пат. 27856 Україна, МКП G 08 G 1/052. Спосіб визначення швидкості автотранспортного засобу / Е.С. Щучик, С.А. Кухтаров, С.В. Михайловський ; заявник і патентовласник Відкрите акціонерне товариство «Банкомзв'язок». – і 2007 14169; заявл. 17.12.07; опубл. 25.01.08, Бюл. № 8.
 4. Пат. 27856 Україна, МКП G 08 G 1/017, G 08 G 1/01. Спосіб розпізнавання державних номерних знаків автотранспортних засобів / Е.С. Щучик, С.А. Кухтаров, С.В. Михайловський ; заявник і патентовласник Відкрите акціонерне товариство «Банкомзв'язок». – і 2007 10930; заявл. 03.10.07; опубл. 12.11.07, Бюл. № 7.
 5. А.с. 1015413 СССР, МКИ³ G 08 G 1/01. Способ измерения скорости движения и длины транспортного средства / К.И. Богатыренко, А.И. Левтеров, В.Е. Тырса (СССР). – № 3362780/18 – 24; заявл. 09.12.81; опубл. 30.04.83, Бюл. № 16.
 6. А.с. 1160460 СССР, МКИ³ G 08 G 1/01. Способ измерения скорости движения и длины транспортного средства / А.И. Левтеров (СССР). – № 3513997/24 – 24; заявл. 24.11.82; опубл. 07.06.85, Бюл. № 21.
 7. А.с. 1649587 СССР, МКИ³ G 08 G 1/01. Способ измерения скорости движения и длины транспортных средств / О.В. Денисенко, А.И. Левтеров, В.Е. Тырса (СССР). – № 4422762/24; заявл. 10.05.88; опубл. 15.05.91, Бюл. № 18.
 8. А.с. 1280427 СССР, МКИ³ G 08 G 1/01. Способ измерения скорости движения и длины транспортного средства / А.И. Левтеров, В.Е. Тырса (СССР). – № 3957628/24–24; заявл. 23.09.85; опубл. 30.12.86, Бюл. № 48.
 9. Пат. 60154 Україна, МКП G 08 G 1/09. Пристрій для вимірювання параметрів транспортних потоків/ А.І. Левтеров, О.В. Денисенко, А.М. Ярута ; заявник і патентовласник Харківський національний автомобільно-дорожній університет. – № і 2010 14353; заявл. 30.11.10; опубл. 10.06.11, Бюл. №11.
 10. Пат. 65119 Україна, МКП G 08 G 1/00. Пристрій для вимірювання параметрів транспортних потоків/ А.І. Левтеров, А.М. Ярута ; заявник і патентовласник Харківський національний автомобільно-дорожній університет. – № і 2011 06035; заявл. 16.05.11; опубл. 25.11.11, Бюл. №22.
 11. Пат. Україна, МКП G 08 G 1/09. Пристрій для вимірювання параметрів транспортних потоків / Г.В. Альошин, О.В. Денисенко, А.І. Левтеров, А.М. Ярута ; заявник і патентовласник Харківський національний автомобільно-дорожній університет. – № і 2011 11324; заявл. 26.09.11; опубл. 12.03.12, Бюл. № 5. – 8 с.
 12. Волошинов В.Б. Акусто-оптические методы исследования распространения упругих волн в кристалле парателлурида / В.Б. Волошинов, В.И. Балакший, Н.В. Поликарпова, А.С. Трушин. – М.: МГУ, 2010. – 307 с.
 13. Пат. 62015 Україна, МКП G 08 G 1/052, G 01 S 11/00, G01 S 17/42. Пристрій для вимірювання параметрів транспортних засобів / А.І. Левтеров, О.В. Денисенко, А.М. Ярута ; заявник і патентовласник Харківський національний автомобільно-дорожній університет. – № і 2011 00247; заявл. 10.01.11; опубл. 10.08.11, Бюл. №15.

Рецензент: П.Ф. Горбачов, д.т.н., професор, ХНАДУ

Стаття надійшла до редакції 15 грудня 2011 р.